

УДК 538.221

© 1990

ДИНАМИЧЕСКИЕ ДОМЕНЫ В ПЛЕНКАХ

(Y, Lu, Pr, Bi)₃(Fe, Ga)₅O₁₂
С ОРИЕНТАЦИЕЙ (210)

M. V. Логунов, B. B. Рандошкин, Ю. Н. Сажин

С помощью метода высокоскоростной фотографии исследованы динамические домены в пленках (Y, Lu, Pr, Bi)₃(Fe, Ga)₅O₁₂ с ориентацией (210). В зависимости от свойств образца наблюдались треугольные и каплеобразные формы доменов с обратной намагниченностью (ДОН), зарождающихся при импульсном перемагничивании монокристаллических пленок феррит-гранатов (МПФГ), нестабильность и формирование диссипативных структур на ограниченных участках доменных стенок (ДС), изменение ориентации ДОН при изменении продвигающего магнитного поля, одностороннее повышение и снижение скорости ДС. Примложение постоянного магнитного поля в плоскости пленки может приводить к подавлению анизотропии скорости ДС, изменение направления односторонней анизотропии скорости ДС на противоположное. В пленке существует выделенное направление при приложении планарного магнитного поля, вдоль которого зависимость скорости ДС от этого поля является симметричной относительно оси ординат.

Динамика доменных стенок (ДС) в монокристаллических пленках феррит-гранатов (МПФГ) со сложной анизотропией, включающей ромбическую и кубическую компоненты, имеет целый ряд важных отличий по сравнению с одноосными пленками. К их числу прежде всего относится расширение диапазона продвигающих полей, соответствующих линейной динамике ДС, вследствие чего пороговая скорость срыва стационарного движения ДС повышается в несколько раз [1]. Выше этого порога в поведении ДС обнаружен ряд интересных особенностей: формирование ромбовидных доменов [2], односторонняя анизотропия скорости ДС [3, 4], изменение ориентации вытянутых доменов с обратной намагниченностью (ДОН) при изменении направления действующего поля на противоположное [2].

В настоящей работе проведено систематическое исследование динамики ДС в пленках (Y, Lu, Pr, Bi)₃(Fe, Ga)₅O₁₂ с различными параметрами, выращенных методом жидкокристаллической эпитаксии из переохлажденного раствора—расплава на подложках из (Gd, Ga)₃(Mg, Zr, Ga)₅O₁₂ с ориентацией (210) [4–6]. Эксперименты проводили на универсальной магнитнооптической установке с временным разрешением 5 нс и пространственным разрешением 0.5 мкм [7]. Параметры МПФГ измеряли стандартными методами [8]. Магнитную анизотропию исследовали с помощью метода фазовых переходов [9].

При исследовании динамики ДС в исходном состоянии МПФГ намагничивали до насыщения полем смешения $H_{\text{см}}$, приложенным вдоль нормали к ее плоскости. Импульсное магнитное поле H_i прикладывали в противоположном направлении. Регистрировали изображение ДОН, зарождающегося на точечном дефекте. Использование такого метода обеспечивает большие перемещения ДС (до 500 мкм), повышенную точность измерения скорости ДС (до 2–3 %), а также постоянство действующего магнитного поля H , с высокой точностью равного $H_i - H_{\text{см}}$ [10].

	Номер образца					
	1	2	3	4	5	6
Толщина h , мкм	11.3	11.5	17.7	9.2	6.3	16.0
Ширина полосовых доменов w , мкм	25.0	12.6	20.2	13.8	5.3	11.4
Поле коллапса ЦМД H_0 , Э	40	52	38	30	107	63
Намагниченность насыщения $4\pi M_s$, Гс	142	112	83	79	180	102
Поле одноосной анизотропии H_k , Э	4200	2600	2700	1650	2900	1100

Для исследований были выбраны МПФГ, обладающие сильно различающимися динамическими свойствами. Параметры образцов приведены в таблице.

На рис. 1 схематически изображены ДОН в различные моменты времени, формирующиеся из исходного круглого ДОН диаметром не более 10 мкм и характеризующие основные особенности динамики ДС в исследованных МПФГ: треугольную (*a*) и каплеобразную (*b*) форму ДОН, одностороннее повышение (*c*) и понижение (*d*) скорости ДС, нестабильность и формирование диссиликативных структур на ограниченных участках ДС (*e*), изменение ориентации вытянутого ДОН при изменении направления действующего магнитного поля на противоположное (*f*). Указанные особенности имели место в определенном диапазоне значений H . В одном и том же образце при изменении H , как правило, наблюдались одна-две характерные формы ДОН из перечисленных.

С целью компенсации или, наоборот, усиления тех или иных компонент плоскостной анизотропии МПФГ прикладывали постоянное магнитное поле в плоскости пленки $H_{\text{пл}}$. Это, как оказалось, расширяет разнообразие характерных форм ДОН, наблюдаваемых в одном и том же образце.

Для экспериментов при наличии $H_{\text{пл}}$ была выбрана МПФГ с односторонней анизотропией скорости ДС (образец № 3 в таблице). Азимутальные зависимости нормальной $H_{\perp}^*(\varphi)$ и планарной $H_{\parallel}^*(\varphi)$ компонент критического поля фазового перехода, соответствующего однородному зарождению доменной структуры, для выбранного образца приведены на рис. 2.

Зависимость скорости ДС v от действующего поля H для образца № 3 приведена на рис. 3. При $H < 80$ Э и $H > 230$ Э анизотропия скорости ДС отсутствует. Ярко выраженная односторонняя анизотропия скорости ДС имеет место в диапазоне $100 \text{ Э} \leq H \leq 200$ Э. В полях $200 \text{ Э} \leq H \leq 270$ Э имеют место нестабильность ДС и образование на ней периодических диссиликативных структур, сопровождающиеся при $H > 250$ Э уширением изображения ДС.

Планарное магнитное поле $H_{\text{пл}}$ вначале прикладывали вдоль такого направления в плоскости пленки, где скорость ДС максимальна (направление «выброса»). Действующее магнитное поле $H = 160$ Э выбирали таким, чтобы анизотропия скорости ДС была максимальной. При фиксированном H регистрировали зависимость $v(H_{\text{пл}})$ (рис. 4), где также показаны характерные формы ДОН, соответствующих различным значениям $H_{\text{пл}}$. Видно, что зависимость $v(H_{\text{пл}})$ сильно несимметрична относительно оси ординат. При отрицательном $H_{\text{пл}}$ минимальная скорость ДС v_{\min} резко возрастает с ростом $H_{\text{пл}}$, тогда как максимальная скорость v_{\max} (для «выброса») слабо меняется. При $H_{\text{пл}} = H^* = -250$ Э анизотропия скорости

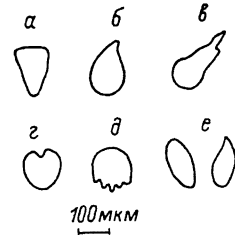


Рис. 1. Характерные формы ДОН в образцах № 5 (*a*), № 1 (*b*), № 3 (*c*), № 2 и № 6 (*d*), № 4 (*e*), № 1 и № 4 (*f*).

ДС исчезает, а при $H_{\text{пп}} = H_{\text{вр}}^- = -300 \text{ Э}$ начинается вращение намагниченности по всей поверхности МПФГ.

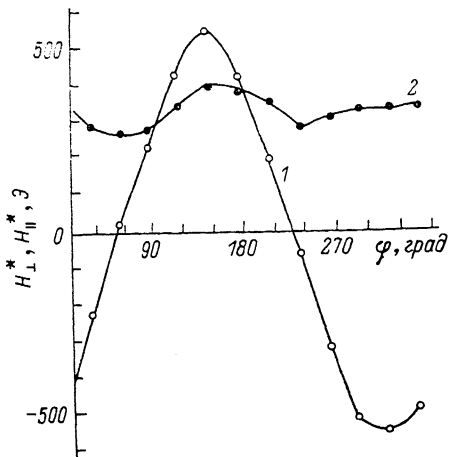


Рис. 2. Азимутальные зависимости нормальной H_1^* (1) и планарной $H_{||}^*$ (2) компонент критического поля фазового перехода для образца № 3.

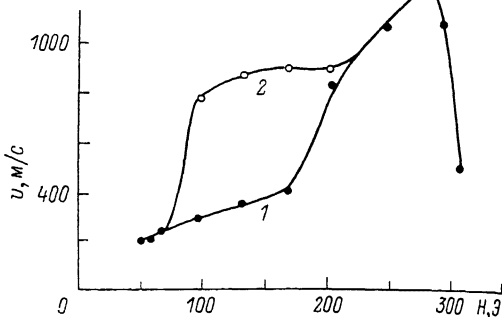


Рис. 3. Зависимости минимальной (1) и максимальной (2) скорости v участков ДС ДОН от продвигающего магнитного поля H для образца № 3.

При положительном $H_{\text{пп}}$ (рис. 4) с ростом его напряженности $v_{\text{ макс}}$ практически не меняется до $H_{\text{пп}}=300 \text{ Э}$, в то время как $v_{\text{ макс}}$ уменьшается (кривая 2). При $H_{\text{пп}} \approx 200 \text{ Э}$ «выброс» появляется на противоположной стороне ДОН, причем его скорость сначала увеличивается с ростом $H_{\text{пп}}$ (до $H_{\text{пп}}=500 \text{ Э}$), затем уменьшается (кривая 3). При $H_{\text{пп}}=800 \text{ Э}$ наблюдается одностороннее снижение скорости ДС. При $H_{\text{пп}}=H_{\text{вр}}^*=900 \text{ Э}$ ани-

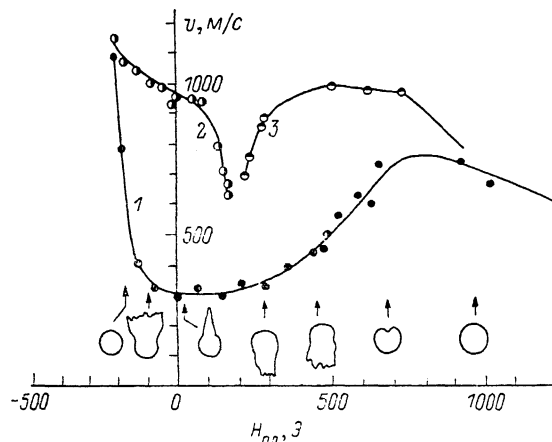


Рис. 4. Зависимости минимальной (1) и максимальной (2, 3) скорости v участков ДС ДОН от планарного магнитного поля $H_{\text{пп}}$, приложенного вдоль направления «выбросов» при $H=160 \text{ Э}$ (образец № 3).

зотропия скорости ДС исчезает. Вращение намагниченности при положительном $H_{\text{пп}}$ начинается при напряженности $H_{\text{пп}}=H_{\text{вр}}^+=1500 \text{ Э}$. Заметим, что значения $H_{\text{вр}}^+$ и $H_{\text{вр}}^-$ различаются в 5 раз.

Зависимости $v_{\text{ макс}}$ и $v_{\text{ мин}}$ от $H_{\text{пп}}$ для случая, когда планарное магнитное поле приложено перпендикулярно направлению «выбросов», приведены на рис. 5. Видно, что в этом случае зависимость $v(H_{\text{пп}})$ также сильно несимметрична относительно оси ординат, причем анизотропия скорости ДС имеет место при всех значениях $H_{\text{вр}}^- < H_{\text{пп}} < H_{\text{вр}}^+$. При положительном $H_{\text{пп}}$ (положительное направление выбрано условно) происходит изменение направления «выбросов», причем «выбросы» с обеих сторон ДОН наблюдаются в диапазоне $40 \text{ Э} < H_{\text{пп}} < 120 \text{ Э}$. Зависимость $v_{\text{ мин}}(H_{\text{пп}})$ имеет минимум при $H_{\text{пп}}=0$ и максимум при $H_{\text{пп}}=-400 \text{ Э}$, где также наблюдается максимум $v_{\text{ макс}}$. Вращение намагниченности начинается при $H_{\text{пп}}=H_{\text{вр}}^+=260$ и $H_{\text{вр}}^-=-1800 \text{ Э}$, т. е. значения $H_{\text{вр}}^+$ и $H_{\text{вр}}^-$ различаются в 7 раз.

Несимметричность кривых $v(H_{\text{пл}})$ на рис. 4, 5 свидетельствует о том, что ни направление «выбросов», ни перпендикулярное к нему направление не совпадают с направлением плоскостной компоненты суммарного эффективного поля анизотропии. Из рис. 2 можно сделать вывод, что суммар-

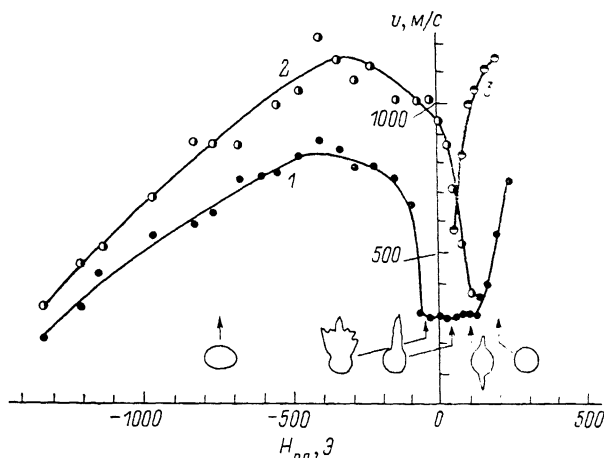


Рис. 5. Зависимости минимальной (1) и максимальной (2, 3) скорости v участков ДС ДОН от планарного магнитного поля $H_{\text{пл}}$, приложенного перпендикулярно направлению «выбросов» при $H = 160$ Э.

ное эффективное поле анизотропии в плоскости пленки направлено под углом $\varphi = 53^\circ$ (233°), поскольку при таком φ значение H_\perp^* обращается в нуль.

Зависимости $v(H_{\text{пл}})$ для $\varphi = 53^\circ$ приведены на рис. 6. Видно, что кривые практически симметричны относительно оси ординат, смена направления «выбросов» происходит при очень малых значениях $H_{\text{пл}}$, а пороговые поля вращения намагниченности для противоположных направлений $H_{\text{пл}}$ практически совпадают и составляют ~ 600 Э. При $H_{\text{пл}} \approx \pm 200$ Э наблюдаются односторонняя нестабильность и формирование периодических структур на участках ДС.

Заметим, что в настоящее время отсутствует теория, которая позволяет объяснить описанные эффекты, которые наблюдаются при расширении ДОН в МПФГ с ромбической анизотропией.

В заключение авторы считают своим приятным долгом выразить искреннюю

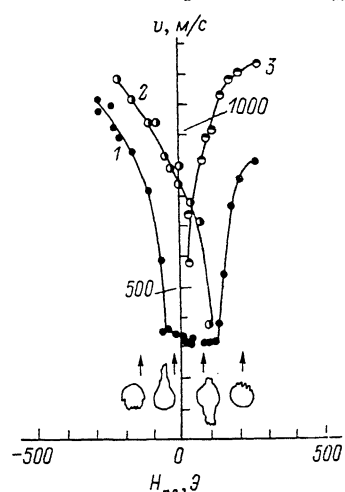


Рис. 6. Зависимости минимальной (1) и максимальной (2, 3) скорости v участков ДС ДОН от планарного магнитного поля $H_{\text{пл}}$, приложенного под углом $\varphi = 53^\circ$ к направлению «выбросов».

благодарность Ю. И. Слинкину и В. И. Чани за помощь при выражении МПФГ, а также В. П. Клин, Б. П. Наму и А. Г. Соловьеву за представление некоторых образцов для исследования.

Список литературы

- [1] Schlömann E. // J. Appl. Phys. 1976. V. 47. N 3. P. 1142–1150.
- [2] Рандошкин В. В., Сигачев В. Б., Чани В. И., Червоненкис А. Я. // ФТТ. 1989. Т. 31. № 7. С. 70–76.
- [3] Лисовский Ф. В., Логгинов А. С., Непокойчицкий Г. А., Розанов Т. Б. // Письма в ЖЭТФ. 1987. Т. 45. № 7. С. 339–342.

- [4] Клин В. П., Логунов М. В., Нам Б. П., Рандошкин В. В., Сажин Ю. Н., Соловьев А. Г., Чани В. И., Червоненкис А. Я. // Письма в ЖТФ. 1989. Т. 15. № 14. С. 79—84.
- [5] Васильева Н. В., Клин В. П., Кузнецов И. А., Нам Б. П., Рандошкин В. В., Сигачев В. Б., Чани В. И., Червоненкис А. Я. // Тез. докл. XI Всес. школы-семинара. Ташкент, 1988. С. 300—301.
- [6] Рандошкин В. В., Чани В. И., Логунов М. В., Сажин Ю. Н., Клин В. П., Нам Б. П., Соловьев А. Г., Червоненкис А. Я. // Письма в ЖТФ. 1989. Т. 15. № 14. С. 42—44.
- [7] Логунов М. В., Рандошкин В. В., Сигачев В. Б. // ПТЭ. 1985. № 5. С. 247—248.
- [8] Элементы и устройства на цилиндрических магнитных доменах. Справочник / Под ред. Н. Н. Евтихиева, Б. Н. Наумова. М.: Радио и связь, 1987. С. 24—40.
- [9] Дикштейн И. Е., Лисовский Ф. В., Мансветова Е. Г., Чижик Е. С. // Препринт ИРЭ АН СССР. 1988. № 17. 28 с.
- [10] Рандошкин В. В. // Препринт ИОФАН СССР. 1989. № 23. 21 с.

Институт общей физики АН СССР
Москва

Поступило в Редакцию
10 августа 1989 г.
В окончательной редакции
7 декабря 1989 г.